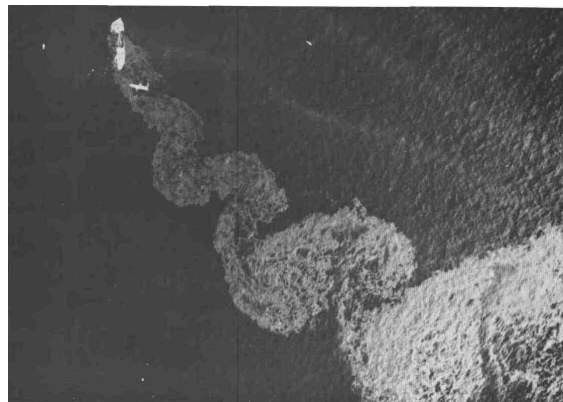


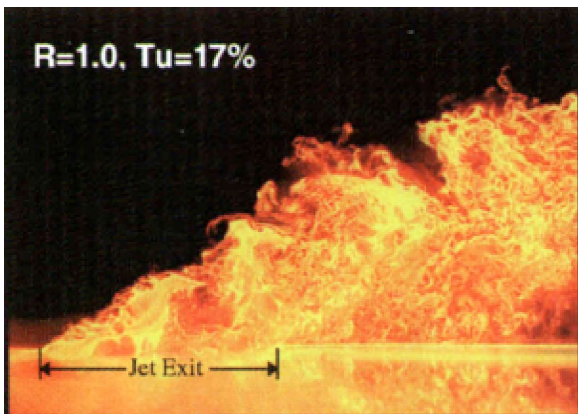
**След за наклонной плоской
пластинкой**



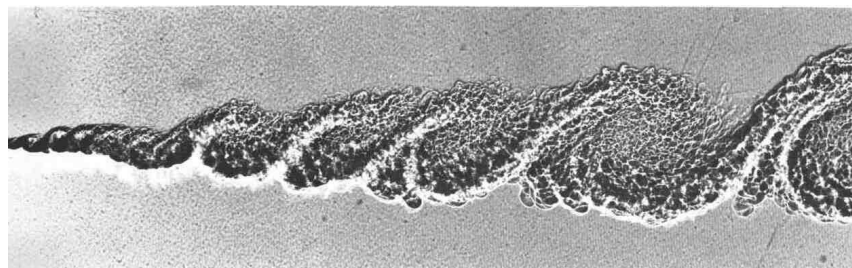
След за танкером, севшим на мель



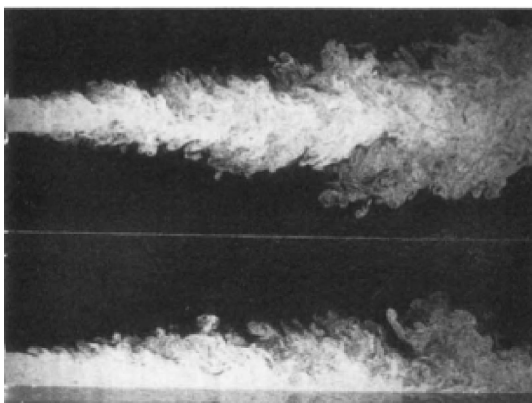
**Турбулентный след за
цилиндром**



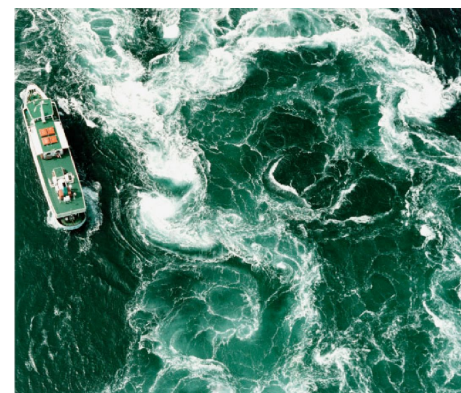
Турбулентное пламя



**Когерентная структура при большом числе
Рейнольдса**

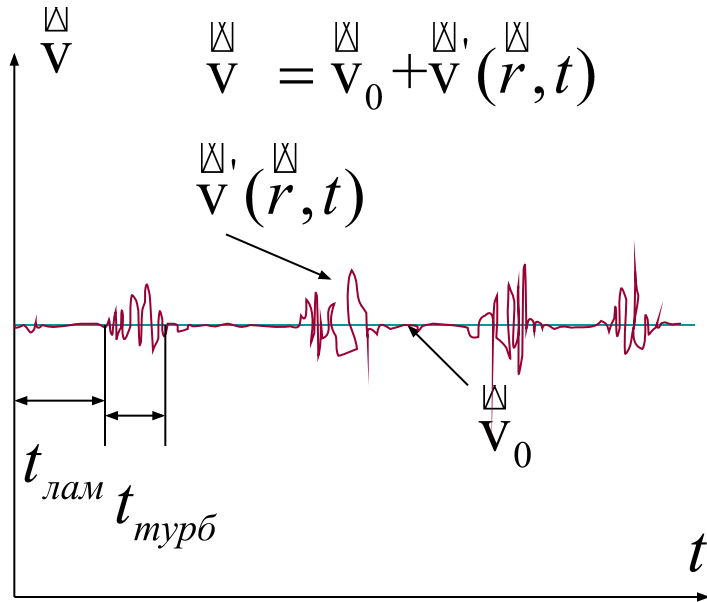


**Турбулентные свободная и
пристенная струи; $Re=4520$**

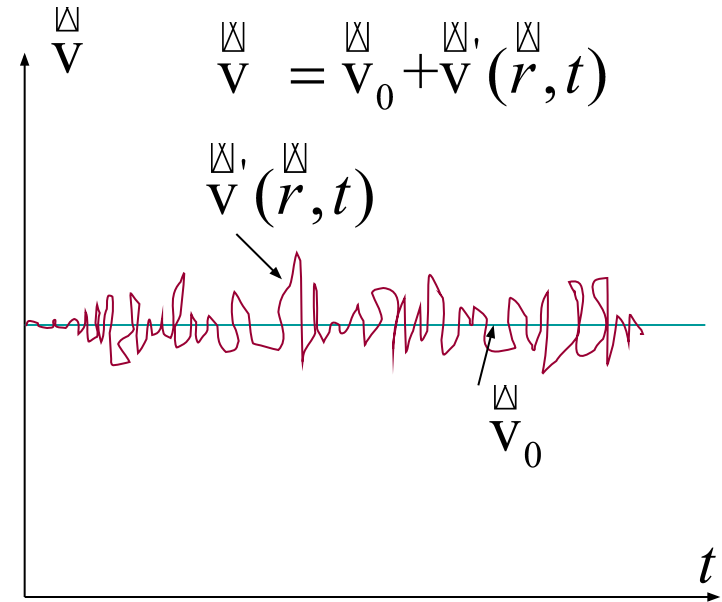


**Турбулентность на поверхности
океана**

7.2. Описание турбулентности

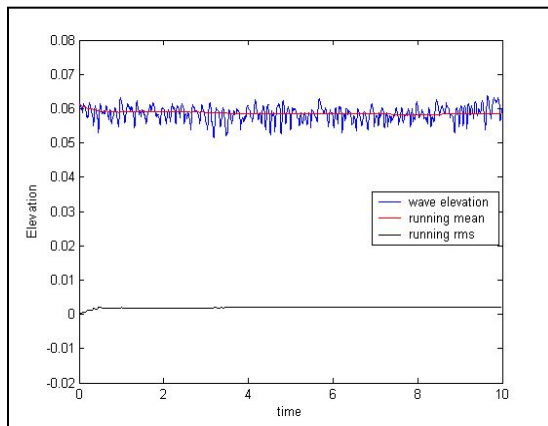


Переменяемость

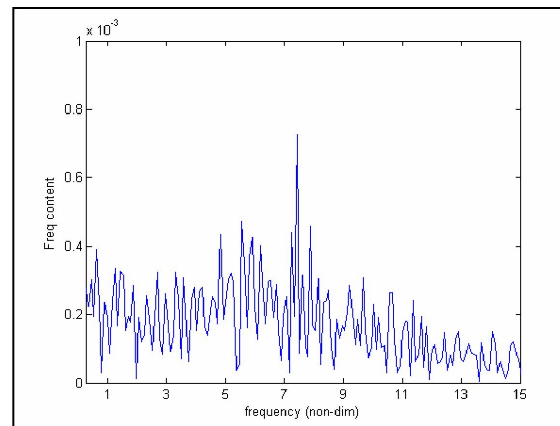


Развитая турбулентность

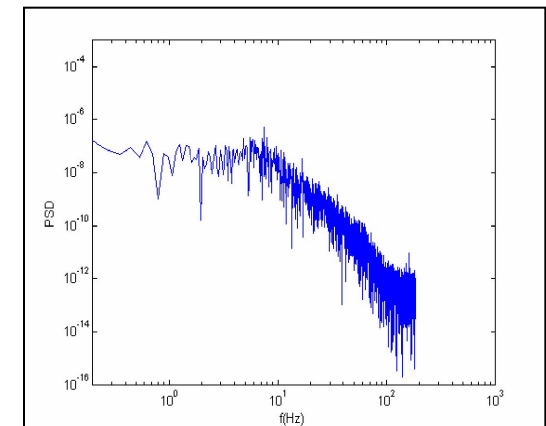
$\gamma = \frac{t_{\text{турб}}}{t_{\text{лам}}}$ коэффициент перемежаемости



Поведение поля скорости



Частотный спектр

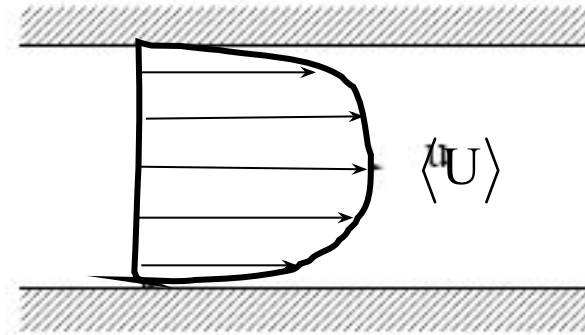
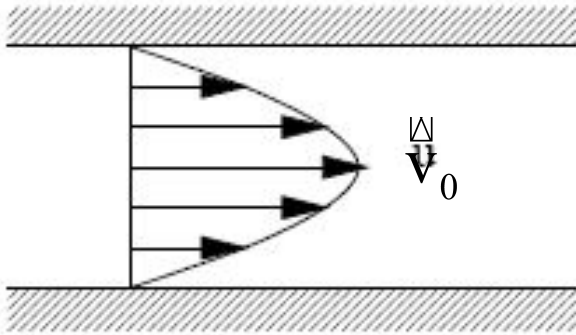


Энергетический спектр

Основные свойства турбулентности:

- турбулентность наступает после нарушения устойчивости ламинарного течения при $Re > Re_{кр}$;
- турбулентность развивается в пространстве и во времени;
- турбулентность характеризуется хаотическим изменением гидродинамических величин, поэтому может быть описана случайными функциями координат и времени;
- турбулентность характеризуется иногда перемежаемостью – установлением в некоторых точках пространства или в некоторые промежутки времени квазиламинарного режима;
- турбулентность при больших числах Рейнольдса иногда проявляет эффекты когерентности – установление в течениях регулярных пространственно-временных структур.

7.3. Турбулентное течение в трубах



Средняя скорость течения жидкости в турбулентном потоке есть:

$$\langle U \rangle = (v_* / \kappa) \ln(Rv_* / \nu) \quad (*) \quad \langle U \rangle = Q / \pi R^2$$

где κ - постоянная Кармана. Получим связь этой средней скорости с перепадом давления. Средняя сила трения на стенке есть $\sigma_{тр} = \rho v_*^2$. Суммарная сила трения на стенке трубы длиной L есть $\sigma_{\Sigma} = 2\pi R L \rho v_*^2$. Откуда баланс трения и работы сил давления получается в форме:

$$\Delta p / L \approx 2 \rho v_*^2 / R \quad (**)$$

Откуда, сравнивая уравнения (*) (**), получаем:

$$\langle U \rangle = \sqrt{\frac{R \Delta p}{2 \kappa^2 \rho L}} \ln \left(\frac{R}{\nu} \sqrt{\frac{R \Delta p}{2 \rho L}} \right) \quad (***)$$

Соотношение (***) носит название закона сопротивления трубы

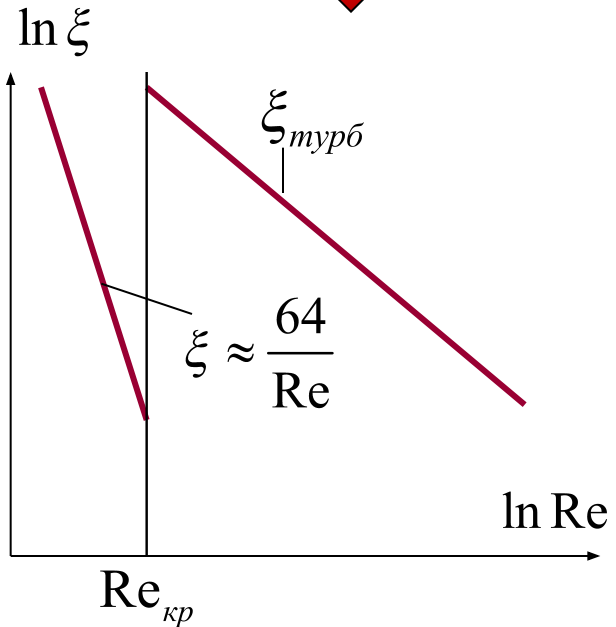
Если ввести коэффициент сопротивления трубы согласно соотношению:

$$\xi = \frac{2R\Delta p / L}{\rho \langle U \rangle^2 / 2}$$

Зависимость от числа Рейнольдса последнего коэффициента определяется по формуле:

$$\frac{1}{\sqrt{\xi}} = 0,88 \ln(\text{Re} \sqrt{\xi}) - 0,85, \quad \text{где } \text{Re} = 2R \langle U \rangle / \nu$$

Можно сравнить коэффициенты сопротивления в трубе для ламинарного и турбулентного течений.



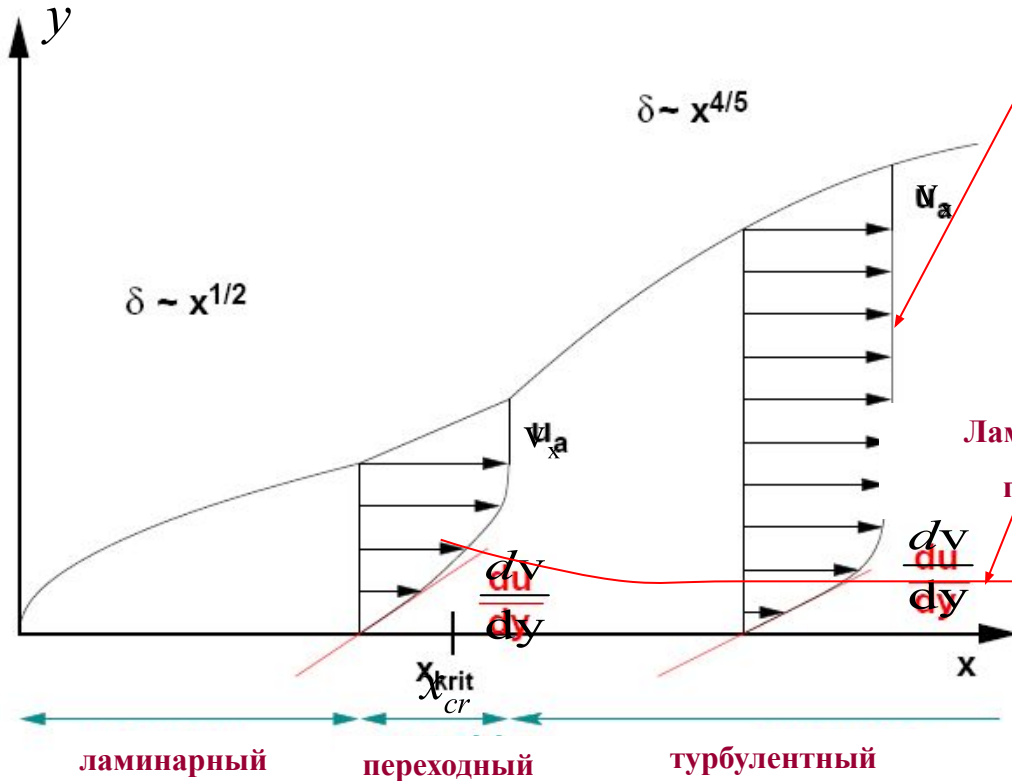
$$\xi \approx \frac{64}{\text{Re}}, \quad \text{при } \text{Re} < 2300 - \text{ламинарное течение}$$

$$\xi \approx 0,0032 + \frac{0,221}{\text{Re}^{0,237}}, \quad \text{при турбулентном течении}$$

Нетрудно видеть, что сопротивление в ламинарном потоке сильнее падает с ростом числа Рейнольдса, чем в турбулентном! При этом при критическом числе Re_* наблюдается скачок сопротивления!

7.4. Турбулентный пограничный слой

Рассмотрим пограничный слой на пластине. Согласно теории Кармана-Прандтля (1930-1932гг.), можно записать для скорости в турбулентном погранслое:



$$\langle U \rangle = (v_* / \kappa) \ln(\delta v_* / \nu)$$

v_* - скорость пульсационного движения

$$\frac{d\delta}{dx} \propto \frac{v_*}{\langle U \rangle}$$

$$\delta \propto v_* x / \langle U \rangle$$

$$\sigma_{mp} = \rho v_*^2,$$

$$\langle U \rangle = (v_* / \kappa) \ln(v_*^2 x / \langle U \rangle \nu)$$

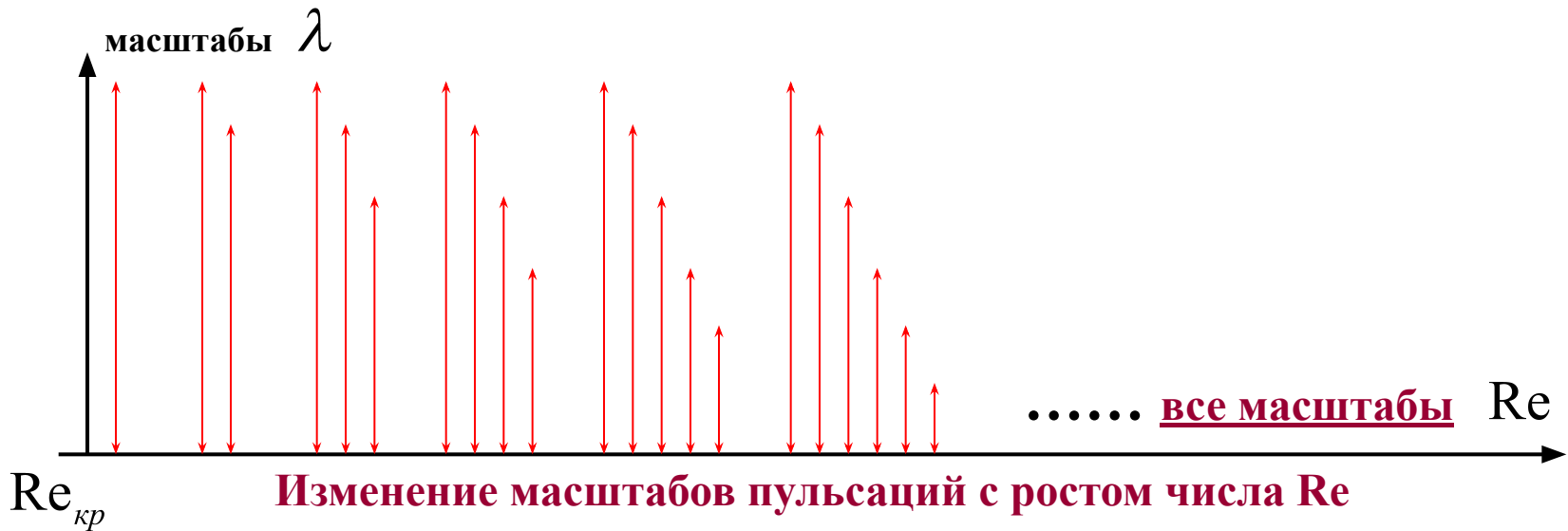
Коэффициент сопротивления пластины: $c = 2\sigma_{mp} / \rho \langle U^2 \rangle = 2(v_* / \langle U \rangle)^2$

Исключая скорость v_* , получим выражение для вычисления коэффициента сопротивления пластины:

$$\sqrt{2\kappa^2 / c} = \ln c \text{Re}_x \quad (\text{Re}_x = \langle U \rangle x / \nu)$$

7.5. Развитая турбулентность и спектры турбулентности

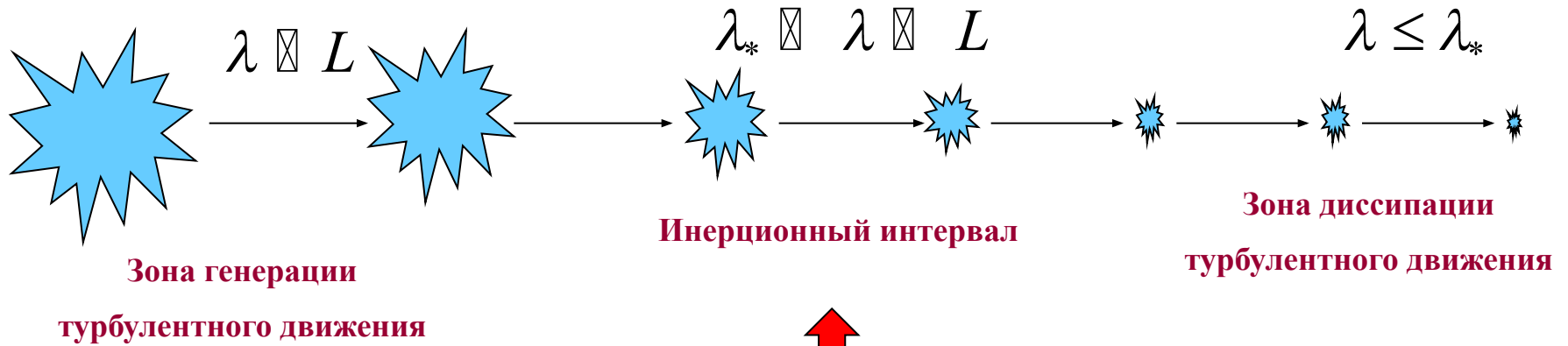
Пусть имеет место турбулентное движение, которое описывается как турбулентные пульсации различных масштабов (т.е. движений с заметным изменением скорости на таких масштабах). С увеличением числа Re сначала появляются более крупномасштабные движения, а затем и более мелкие масштабы. При очень больших числах Re – имеют место все масштабы турбулентных пульсаций.



Можно определить число Рейнольдса в зависимости от масштабов движения:

$$Re_{\lambda} = v_{\lambda} \lambda / \nu$$

Каков же механизм диссипации энергии при турбулентном движении с различными масштабами?



Каскадный процесс переноса энергии от больших масштабов к малым (Ричардсон, 1922г.)

Пусть q - среднее количество энергии, диссипируемое в единицу времени в единице массы жидкости. Если ввести изменение средней скорости турбулентного движения Δu . Тогда $q \approx (\Delta u)^3 / L$ в турбулентном режиме удобно ввести не обычную, а так называемую **турбулентную вязкость**, согласно соотношению:

$$\nu_{турб} \approx \Delta u \cdot L$$

Откуда: $\nu_{турб} / \nu \approx Re \longrightarrow q \approx \nu_{турб} (\Delta u / L)^2$ - таким образом, диссипация энергии турбулентного движения связана со специфической турбулентной вязкостью

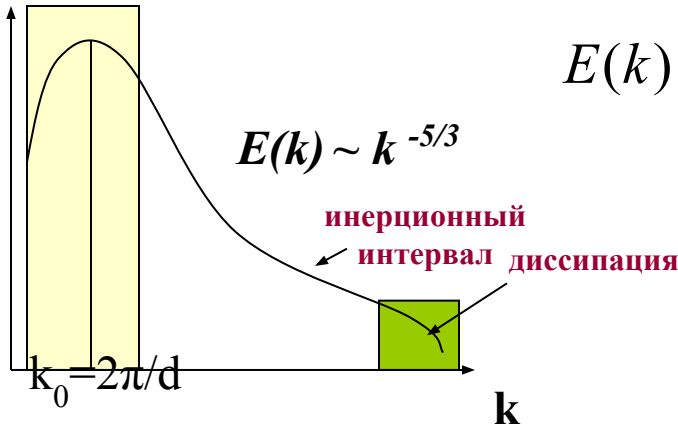
Закон Колмогорова-Обухова (1941г.)

На масштабах $\lambda < L$ имеет место мелкомасштабная турбулентность, которую можно считать однородной и изотропной. Можно определить масштаб изменения скорости турбулентного движения на расстояниях порядка λ (величина v_λ скорость турбулентных движений на этих масштабах):

$$v_\lambda \propto (q\lambda)^{1/3} \quad \text{- закон Колмогорова-Обухова}$$

Если ввести вместо длин соответствующие «волновые числа» турбулентных пульсаций $k \propto 1/\lambda$, тогда кинетическая энергия (единицы массы жидкости) есть

$E(k)$ возбуждение



$$E(k) \propto q^{2/3} k^{-5/3} \quad \text{- знаменитый закон «5/3» Колмогорова}$$

(для инерционного интервала)

